

ЛИТЕРАТУРА

1. Bergles A. E. Recent developments in convective heat-transfer augmentation.— «Appl. Mech. Rev.», 1973, vol. 26, N 6, p. 675—682.
2. Mochizuki Sadanari, Hatta Keizo. Теплообмен при пульсирующем течении жидкости в горизонтально расположенной трубе. Ч. 1. Теоретический анализ. «Нихон кикай гаккай ромбунсю, Trans. JSME», 1973, vol. 39, N 318, p. 682—691.
3. Narke J. Wärmeübergang bei pulsierender laminarer Strömung.— «Brennst-Wärme-Kraft», 1974, Bd 26, N 2, S. 55—63.
4. Edwards M. F., Nellist D. A., Wilkinson W. L. Heat-transfer to viscous fluids in pulsating flow in pipes.— «Chem. Engng», 1973, N 279, p. 532—537.
5. Минаков Ю. Г. Критические тепловые потоки при пульсирующем течении воды в трубах.— «Изв. высш. учеб. заведений. Авиационная техника», 1968, № 2, с. 120—125.
6. Лыков А. В., Перельман Т. Л. О нестационарном теплообмене между телом и обтекающим его потоком жидкости.— В кн.: Тепло- и массообмен тел с окружающей газовой средой. Минск, «Наука и техника», 1965.
7. Кондрашов В. И., Томилов В. Е. Нестационарный теплообмен при ламинарном течении жидкости в каналах.— В кн.: Численные методы механики сплошной среды. Т. 7, № 6. Новосибирск, изд. ВЦ СО АН СССР, 1976.
8. Ким Л. В., Кондрашов В. И. Нестационарный теплообмен в термическом начальном участке плоского канала.— В кн.: Материалы научно-практической конференции «Молодые ученые Томской области в 9-й пятилетке». Томск, изд. Томск. ун-та, 1975.
9. Гринберг Г. А. Избранные вопросы математической теории электрических и магнитных явлений. М.—Л., Изд-во АН СССР, 1948.
10. Годунов С. К., Рябенский В. С. Разностные схемы. М., «Наука», 1973.
11. Papoulis A. A new method of inversion of the Laplas transform.— «Quarterly of applied mathematics», 1957, vol. 14, N 4, p. 405—414.

УДК 536.421

КИНЕТИКА ФАЗОВЫХ ПРЕВРАЩЕНИЙ
БИНАРНЫЙ РАСПЛАВ — КРИСТАЛЛ

T. A. Черепанова
(Рига)

В последнее время проведен ряд исследований механизма роста бинарных кристаллов металлического типа методом статистического моделирования на ЭВМ [1, 2].

Цель данной работы — аналитическое описание кинетики кристаллизации многокомпонентных сплавов.

Рассмотрим решеточную модель двухфазной бинарной системы расплав — кристалл. Симметрия решетки предполагается кубической. В узлах ее расположены атомы сортов α или β , которые могут быть жидкими или твердыми. Ограничимся рассмотрением взаимодействий ближайших соседей, так что взаимодействие частиц в системе характеризуется энергиами связей твердых частиц $\varphi_{11}^{\alpha\alpha}$, $\varphi_{11}^{\alpha\beta}$, $\varphi_{11}^{\beta\beta}$ твердых частиц с жидкими $\varphi_{10}^{\alpha\alpha}$, $\varphi_{10}^{\alpha\beta}$, $\varphi_{10}^{\beta\beta}$ и жидких частиц $\varphi_{00}^{\alpha\alpha}$, $\varphi_{00}^{\alpha\beta}$, $\varphi_{00}^{\beta\beta}$ (индекс 0 означает принадлежность к жидкой фазе, 1 — к твердой). Конфигурацию распределения атомов в системе будем описывать набором параметров $g = \left\{ \begin{array}{l} \eta_j \\ \xi_j \end{array} \right\}$.

При этом $\eta_j = 1$, если в j -м узле решетки находится твердая частица, и $\eta_j = 0$, если — жидкость; ξ_j определяет сорт частицы в этом узле ($\xi_j =$

$= \alpha, \beta$). Гамильтониан, усредненный по степеням свободы, не связанным с параметрами порядка, характеризующими фазовый переход, представим в виде $H = U + K$,

$$\begin{aligned} U = & \frac{1}{2} \sum_{i,j \in i} \left\{ \eta_i \eta_j \left[\delta_{\xi_i \alpha} \delta_{\xi_j \alpha} \varphi_{11}^{\alpha \alpha} + (\delta_{\xi_i \alpha} \delta_{\xi_j \beta} + \delta_{\xi_i \beta} \delta_{\xi_j \alpha}) \varphi_{11}^{\alpha \beta} + \delta_{\xi_i \beta} \delta_{\xi_j \beta} \varphi_{11}^{\beta \beta} \right] + \right. \\ & + [(1 - \eta_i) \eta_j + \eta_i (1 - \eta_j)] \left(\delta_{\xi_i \alpha} \delta_{\xi_j \alpha} \varphi_{10}^{\alpha \alpha} + \delta_{\xi_i \beta} \delta_{\xi_j \beta} \varphi_{10}^{\beta \beta} \right) + [(1 - \eta_i) \eta_j \delta_{\xi_i \alpha} \times \\ & \quad \times \delta_{\xi_j \beta} + \eta_i (1 - \eta_j) \delta_{\xi_i \beta} \delta_{\xi_j \alpha}] \varphi_{10}^{\beta \alpha} + [\eta_i (1 - \eta_j) \delta_{\xi_i \alpha} \delta_{\xi_j \beta} + \\ & \quad + (1 - \eta_i) \eta_j \delta_{\xi_i \beta} \delta_{\xi_j \alpha}] \varphi_{10}^{\alpha \beta} + (1 - \eta_i) (1 - \eta_j) \left[\delta_{\xi_i \alpha} \delta_{\xi_j \alpha} \varphi_{00}^{\alpha \alpha} + \right. \\ & \quad \left. + (\delta_{\xi_i \alpha} \delta_{\xi_j \beta} + \delta_{\xi_i \beta} \delta_{\xi_j \alpha}) \varphi_{00}^{\alpha \beta} + \delta_{\xi_i \beta} \delta_{\xi_j \beta} \varphi_{00}^{\beta \beta} \right], \\ K = & \sum_{i,j \in i} \left[\eta_i (\delta_{\xi_i \alpha} \theta_1^{\alpha} + \delta_{\xi_i \beta} \theta_1^{\beta}) + (1 - \eta_i) (\delta_{\xi_i \alpha} \theta_0^{\alpha} + \delta_{\xi_i \beta} \theta_0^{\beta}) \right] kT. \end{aligned}$$

Здесь суммирование идет по соседям, ближайшим к узлу i ($j \equiv i$), и по всем узлам решетки i ($1 \leq i \leq N$, N — число частиц в системе). Член K описывает вклады в гамильтониан внутренних степеней свободы, по которым произведено усреднение. Жидкая фаза предполагается однородной, так что среди ближайших к узлу i жидких соседей часть их сорта α (c_f^α) и часть сорта β (c_f^β):

$$(1) \quad \begin{aligned} \sum_{j \in i} (1 - \eta_j) \delta_{\xi_j \alpha} &= \sum_{j \in i} (1 - \eta_j) c_f^\alpha (\delta_{\xi_j \alpha} + \delta_{\xi_j \beta}), \\ \sum_{j \in i} (1 - \eta_j) \delta_{\xi_j \beta} &= \sum_{j \in i} (1 - \eta_j) c_f^\beta (\delta_{\xi_j \alpha} + \delta_{\xi_j \beta}), \end{aligned}$$

при этом $c_f^\alpha + c_f^\beta = 1$. В результате простых преобразований с учетом (1) выражение для гамильтониана с точностью до константы можно представить в виде

$$(2) \quad \begin{aligned} H = & -\frac{1}{2} \sum_{i,j \in i} \left\{ \eta_i \eta_j \left[\delta_{\xi_i \alpha} \delta_{\xi_j \alpha} \Phi_{\alpha \alpha} + \delta_{\xi_i \alpha} \delta_{\xi_j \beta} \Phi_{\alpha \beta} + \delta_{\xi_i \beta} \delta_{\xi_j \beta} \Phi_{\beta \beta} \right] + \right. \\ & + \eta_i \delta_{\xi_i \alpha} (\varepsilon_\alpha - \frac{1}{3} kT \theta_\alpha) + \eta_i \delta_{\xi_i \beta} (\varepsilon_\beta - \frac{1}{3} kT \theta_\beta) + \eta_j \left[\delta_{\xi_i \alpha} \delta_{\xi_j \alpha} (c_f^\alpha \varphi_{00}^{\alpha \alpha} + \right. \\ & \quad + c_f^\beta \varphi_{00}^{\alpha \beta} - \varphi_{10}^{\alpha \alpha}) + \delta_{\xi_i \alpha} \delta_{\xi_j \beta} (c_f^\alpha \varphi_{00}^{\alpha \alpha} + c_f^\beta \varphi_{00}^{\alpha \beta} - \varphi_{10}^{\alpha \beta}) + \delta_{\xi_i \beta} \delta_{\xi_j \beta} (c_f^\beta \varphi_{00}^{\beta \beta} + \\ & \quad \left. + c_f^\alpha \varphi_{00}^{\beta \alpha} - \varphi_{10}^{\beta \beta}) + \delta_{\xi_i \beta} \delta_{\xi_j \alpha} (c_f^\beta \varphi_{00}^{\beta \beta} + c_f^\alpha \tilde{\varphi}_{00}^{\beta \alpha} - \varphi_{10}^{\alpha \beta}) \right], \end{aligned}$$

где [1, 2]

$$\begin{aligned} \Phi_{v\xi} &= \varphi_{01}^{v\xi} - \varphi_{11}^{v\xi} - \varepsilon_v; \\ \varepsilon_v &= \sum_{\xi} (\varphi_{00}^{v\xi} - \varphi_{10}^{v\xi}) c_f^{\xi}; \\ \theta_v &= \theta_0^v - \theta_1^v \quad (v, \xi = \alpha, \beta). \end{aligned}$$

В дальнейшем значение θ_v предполагается не зависящим от температуры и сорта соседей частицы v .

Химические потенциалы компонент твердой и жидкой фаз определим через гамильтониан системы

$$(3) \quad \begin{aligned} \mu_v^s &= \left\langle \left(\frac{\partial H}{\partial N_v^s} \right)_{N_\xi^f, N_\xi^s, N_v^f, T} \right\rangle, \\ \mu_v^f &= \left\langle \left(\frac{\partial H}{\partial N_v^f} \right)_{N_\xi^f, N_\xi^s, N_v^s, T} \right\rangle. \end{aligned}$$

С учетом (3) разность химических потенциалов выразим через среднее изменение энергии в процессе перехода v -частицы в одном из узлов решетки из одного агрегатного состояния в другое

(4)

$$\Delta \mu_v = \mu_v^f - \mu_v^s = \langle H(N_\xi^f, N_\xi^s, N_v^f + 1, N_v^s - 1, T) - H(N_\xi^f, N_\xi^s, N_v^f, N_v^s, T) \rangle.$$

Из (4), (2) получаем

$$(5) \quad \Delta \mu_v = \sum_g \sum_{j \in i} [\eta_j (\delta_{\xi_j \alpha} \Phi_{v \alpha} + \delta_{\xi_j \beta} \Phi_{v \beta}) + \varepsilon_v - kT\theta_v] \rho(g),$$

где $\rho(g)$ — вероятность найти систему в состоянии g и суммирование идет по всем возможным наборам параметров $\begin{pmatrix} \gamma_i \\ \xi_i \end{pmatrix}$. Уравнение (5) устанавливает связь между разностями химических потенциалов компонент жидкой и твердой фаз и микроскопическими характеристиками системы. В случае роста устойчивых кристаллических граней в стационарном режиме $\Delta \mu_v$ имеет смысл разности химических потенциалов объемных фаз. Действительно, представим потенциальную энергию U в виде суммы объемной U_{vol} и поверхностной U_{surf} частей, так что

$$U = U_{vol} + U_{surf},$$

$$U_{vol} = \frac{1}{2} \sum_{v, \xi} (N_{11}^{v\xi} \varphi_{11}^{v\xi} + N_{00}^{v\xi} \varphi_{00}^{v\xi}) \quad (v, \xi = \alpha, \beta),$$

где $N_{11}^{v\xi}, N_{00}^{v\xi}$ — число твердо-твердых и жидкожидких связей частиц сортов v и ξ в объемных фазах. В стационарном режиме роста средние изменения объемных и поверхностных частей энергий в процессе элементарного акта перехода частицы из одного агрегатного состояния в другое удовлетворяют соотношениям

$$\langle \Delta U_{surf} \rangle = 0, \quad \langle \Delta U \rangle = \langle \Delta U_{vol} \rangle.$$

В результате вместо (5) имеем

$$\Delta \mu_v = 3(c_f^\alpha \varphi_{00}^{v\alpha} + c_f^\beta \varphi_{00}^{v\beta} - \varphi_{11}^{vv}) - \frac{1}{2}(2\varphi_{11}^{\alpha\beta} - \varphi_{11}^{\alpha\alpha} - \varphi_{11}^{\beta\beta}) \gamma_v - kT\theta_v,$$

$$\gamma_v = \left\langle \left(\frac{\partial N_{11}^{\alpha\beta}}{\partial N_v^s} \right)_{N_\xi^f, N_\xi^s, N_v^f, T} \right\rangle \quad (\xi \neq v).$$

В частности, для однокомпонентных систем

$$(6) \quad \Delta \mu_v = 3(\varphi_{00}^{vv} - \varphi_{11}^{vv}) - kT\theta_v = \frac{3(\varphi_{00}^{vv} - \varphi_{11}^{vv})}{T_{eq}^v} (T_{eq}^v - T).$$

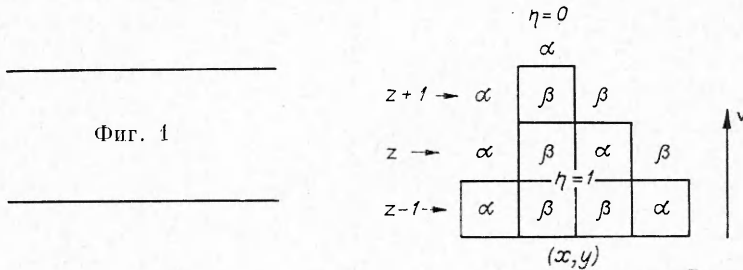
Уравнение (6) позволяет найти энтропийный фактор

$$\theta_v = \frac{3(\varphi_{00}^v - \varphi_{11}^v)}{kT_{eq}^v},$$

где T_{eq}^v — равновесная температура перехода чистой v -компоненты.

Процесс кристаллизации представим как совокупность последовательного совершения элементарных событий переходов в отдельных узлах решетки на поверхности растущей грани при фиксированной конфигурации распределения частиц в узлах, не участвующих в данный момент в элементарном процессе. На фиг. 1 представлен разрез бинарной системы

Фиг. 1



в направлении роста в окрестности границы раздела кристалл — расплав. Для простоты модели ограничимся рассмотрением состояний системы, соответствующих конфигурациям межфазной границы без нависаний. Это означает, что в атомном столбце по направлению скорости роста v лишь один твердый атом имеет над собой соседа, принадлежащего жидкости. Такой твердый атом и прилежащий к нему сверху жидкий атом назовем поверхностными.

Поверхностный атом жидкости сорта ξ с частотой W_{10}^ξ может стать твердым, поверхственный твердый атом с частотой W_{01}^ξ может перейти в расплав. Разобьем физическое время на интервалы длительностью τ . Вероятности переходов за время τ в j -узле из фазового состояния η_j в η'_j

$$(7) \quad \widetilde{W}_{\eta_j \eta'_j}^{\xi_j} = \tau W_{\eta_j \eta'_j}^{\xi_j}, \quad \sum_{\eta'_j} \widetilde{W}_{\eta_j \eta'_j}^{\xi_j} = 1.$$

Кинетическое уравнение для функции распределения $\rho(g, t)$ в пространстве g можно представить в виде

$$(8) \quad \begin{aligned} & \frac{\partial \rho(\xi_1, \eta_1; \dots \xi_j, \eta_j; \dots \xi_N, \eta_N; t)}{\partial t} = \\ & = \sum_j [W_{\eta_j 0}^{\xi_j} \rho(\xi_1, \eta_1; \dots \xi_j, \eta'_j; \dots \xi_N, \eta_N; t)|_{\eta'_j=0} + \\ & + W_{0 \eta'_j}^{\xi_j} \rho(\xi_1, \eta_1; \dots \xi_j, \eta'_j; \dots \xi_N, \eta_N; t)|_{\eta'_j=1} - \\ & - (W_{0 \eta'_j}^{\xi_j} + W_{1 \eta'_j}^{\xi_j}) \rho(\xi_1, \eta_1; \dots \xi_j, \eta_j; \dots \xi_N, \eta_N; t)]. \end{aligned}$$

Два первых члена в квадратных скобках означают вероятности переходов частицы, находящейся в узле j в состоянии η_j , соответственно из жидкой и твердой фаз. Два последних члена — вероятности обратных переходов из состояния η_j в жидкое и твердое соответственно. Частоты переходов $W_{\eta_j \eta'_j}^{\xi_j}$ определены так, что они отличны от нуля лишь для узлов решетки,

в которых расположены поверхностные атомы. По определению

$$\sum_g \rho(g, t) = 1.$$

Рассмотрим релаксационные свойства уравнения (8). Обозначим через $\rho(\xi_j, \eta_j) = \rho(\xi_1, \eta_1; \dots, \xi_j, \eta_j; \dots, \xi_N, \eta_N; t)$ вероятность обнаружить систему с конфигурацией g , j -му узлу которой соответствует параметр $\begin{pmatrix} \xi_j \\ \eta_j \end{pmatrix}$. Представим решение уравнения (8) в виде

$$(9) \quad \rho(\xi_j, \eta_j) = f(\xi_j, \eta_j) + \Delta f(\xi_j, \eta_j) \exp(-At),$$

где $f(\xi_j, \eta_j)$ — равновесная функция распределения; $\Delta f(\xi_j, \eta_j)$ — отклонение $\rho(\xi_j, \eta_j)$ от ее равновесного значения при $t = 0$.

Подставляя (9) в (8), с учетом (7) получаем уравнения для нахождения собственных значений $\lambda = 1 - A$ и собственных векторов $\chi(\xi_j, \eta_j)$ в матричном виде

$$(10) \quad \begin{pmatrix} \widetilde{W}_{11}^{\xi_1} \widetilde{W}_{10}^{\xi_1} & 0 \\ \widetilde{W}_{01}^{\xi_1} \widetilde{W}_{00}^{\xi_1} & \widetilde{W}_{11}^{\xi_2} \widetilde{W}_{10}^{\xi_2} \\ & \vdots \\ 0 & \widetilde{W}_{11}^{\xi_N} \widetilde{W}_{10}^{\xi_N} \\ & \widetilde{W}_{01}^{\xi_N} \widetilde{W}_{00}^{\xi_N} \end{pmatrix} \begin{pmatrix} \chi(\xi_1, \eta_1) |_{\eta_1=1} \\ \chi(\xi_1, \eta_1) |_{\eta_1=0} \\ \chi(\xi_2, \eta_2) |_{\eta_2=1} \\ \chi(\xi_2, \eta_2) |_{\eta_2=0} \\ \vdots \\ \chi(\xi_N, \eta_N) |_{\eta_N=1} \\ \chi(\xi_N, \eta_N) |_{\eta_N=0} \end{pmatrix} = \lambda \begin{pmatrix} \chi(\xi_1, \eta_1) |_{\eta_1=1} \\ \chi(\xi_1, \eta_1) |_{\eta_1=0} \\ \chi(\xi_2, \eta_2) |_{\eta_2=1} \\ \chi(\xi_2, \eta_2) |_{\eta_2=0} \\ \vdots \\ \chi(\xi_N, \eta_N) |_{\eta_N=1} \\ \chi(\xi_N, \eta_N) |_{\eta_N=0} \end{pmatrix}.$$

Решение уравнения (10) дает два собственных значения для каждого узла:

$$(11) \quad \lambda_1^j = 1, \lambda_2^j = 1 - \widetilde{W}_{01}^{\xi_j} - \widetilde{W}_{10}^{\xi_j}.$$

Для компонент собственного вектора, соответствующего собственному значению λ_1^j , имеем

$$\chi(\xi_j, \eta_j) |_{\eta_j=1} = \frac{\widetilde{W}_{10}^{\xi_j}}{\widetilde{W}_{01}^{\xi_j}} \chi(\xi_j, \eta_j) |_{\eta_j=0}.$$

Разлагая $f(\xi_j, \eta_j)$ по $\chi(\xi_j, \eta_j)$, получаем

$$(12) \quad \frac{f(\xi_j, \eta_j) |_{\eta_j=1}}{f(\xi_j, \eta_j) |_{\eta_j=0}} = \frac{\widetilde{W}_{10}^{\xi_j}}{\widetilde{W}_{01}^{\xi_j}}.$$

Нормированные $f(\xi_j, \eta_j)$ с учетом (2) имеют вид

$$(13) \quad f(\xi_j, \eta_j) |_{\eta_j=1} = \sum_v \frac{\delta_{\xi_j v} \exp\left(\frac{l_{v\alpha}\Phi_{v\alpha} + l_{v\beta}\Phi_{v\beta} + 6\varepsilon_v}{kT} - \theta_v\right)}{1 + \exp\left(\frac{l_{v\alpha}\Phi_{v\alpha} + l_{v\beta}\Phi_{v\beta} + 6\varepsilon_v}{kT} - \theta_v\right)},$$

$$f(\xi_j, \eta_j) |_{\eta_j=0} = \sum_v \delta_{\xi_j v} \left[1 + \exp\left(\frac{l_{v\alpha}\Phi_{v\alpha} + l_{v\beta}\Phi_{v\beta} + 6\varepsilon_v}{kT} - \theta_v\right) \right]^{-1} \quad (v = \alpha, \beta),$$

где $l_{v_i^*}$ — число ближайших твердых соседей сорта ξ с v -частицей. Второе собственное значение (11) с учетом (12) дает соотношение

$$(14) \quad A^{\xi_j} = \tilde{W}_{10}^{\xi_j} [f(\xi_j, \eta_j) |_{\eta_j=1}]^{-1}.$$

Исходя из физического смысла величины A^{ξ_j} , представим ее в виде

$$(15) \quad A^{\xi_j} = \tau (\tau_{\text{рел}}^{\xi_j})^{-1},$$

где $\tau_{\text{рел}}^{\xi_j}$ — характерное время релаксации системы в j -м узле, если конфигурация в остальных узлах фиксирована. Из (14), (15) находим

$$\tau_{\text{рел}}^{\xi_j} = \tau f(\xi_j, \eta_j) |_{\eta_j=1} (\tilde{W}_{10}^{\xi_j})^{-1} = f(\xi_j, \eta_j) |_{\eta_j=1} (W_{10}^{\xi_j})^{-1}.$$

С учетом (13) для характерного времени релаксации получаем

$$(16) \quad \tau_{\text{рел}}^{\xi_j} = \sum_v \delta_{\xi_j v} (W_{10}^{\xi_j})^{-1} \left[1 + \exp \left(- \frac{l_{v\alpha} \Phi_{v\alpha} + l_{v\beta} \Phi_{v\beta} + 6\varepsilon_v}{kT} + \theta_v \right) \right]^{-1} \quad (v = \alpha, \beta).$$

В качестве интервала времени τ процесса выберем минимальное из характерных времен релаксации в модели

$$(17) \quad \tau = \min \tau_{\text{рел}}^{\xi_j} \quad (1 \leq j \leq N).$$

Для определения τ необходимо знать $W_{10}^{\xi_j}$. В кинетических моделях Изинга обычно принимается [3], что зависимость $W_{10}^{\xi_j}$ от конфигурации ближайших соседей частицы ξ_j имеет вид

$$W_{10}^{\xi_j} \sim \sum_v \delta_{\xi_j v} \left[1 + \exp \left(- \frac{l_{v\alpha} \Phi_{v\alpha} + l_{v\beta} \Phi_{v\beta} + 6\varepsilon_v}{kT} + \theta_v \right) \right]^{-1}.$$

Тогда $\tau_{\text{рел}}^{\xi_j} = \text{const}$ для всех узлов решетки не зависит от сорта их соседей.

Предполагаем, что частота присоединения частиц в поверхностном узле к кристаллу, если сорт частицы в узле фиксирован, есть

$$W_{10}^v = \frac{D_v}{a^2},$$

где D_v — коэффициент диффузии частиц сорта v в расплаве; a — параметр решетки. Уравнение (12) определяет вероятности перехода твердых частиц сорта v в жидкую фазу, а (16), (17) — характерное время процесса.

Определим двухчастичную функцию распределения в виде

$$\rho^{(2)}(\xi_j, \eta_j; \xi_k, \eta_k; t) = \sum_{\dots \xi_j, \eta_j \dots} \rho(g, t); \begin{cases} 1 \leq j \leq N \\ j \neq i, k \end{cases},$$

где суммирование ведется по всем возможным значениям ξ_j, η_j во всех узлах решетки, за исключением узлов i, k . Одночастичная функция распределения

$$\rho^{(1)}(\xi_i, \eta_i; t) = \sum_{\xi_k, \eta_k} \rho^{(2)}(\xi_i, \eta_i; \xi_k, \eta_k; t).$$

Введем в рассмотрение концентрацию c_{ik}^{vv} твердо-твердых связей ближайших соседей сортов v и γ

$$c_{ik}^{vv} = \sum_{\xi_i, \eta_i, \xi_k, \eta_k} \delta_{\xi_i v} \delta_{\xi_k \gamma} \eta_i \eta_k \rho^{(2)}(\xi_i, \eta_i; \xi_k, \eta_k; t) = \sum_g \delta_{\xi_i v} \delta_{\xi_k \gamma} \eta_i \eta_k \rho(g, t).$$

Умножим левую и правую части уравнения (8) на $\delta_{\xi_i v} \delta_{\xi_k \gamma} \eta_i \eta_k$ и просуммируем по всем возможным состояниям g . При этом при суммировании выражения в квадратных скобках правой части (8) по η_j в узле j при $j \neq i, k$ с учетом (7) получим

$$\rho(\xi_j, \eta'_j) \Big|_{\eta_j=0} + \rho(\xi_j, \eta'_j) \Big|_{\eta_j=1} - \sum_{\eta_j} \rho(\xi_j, \eta_j) = 0.$$

Таким образом, уравнение для двухчастичной функции распределения c_{ik}^{vv} определяется частотами переходов лишь в i, k -узлах решетки

$$(18) \quad \frac{dc_{ik}^{vv}}{dt} = \sum_g \delta_{\xi_i v} \delta_{\xi_k \gamma} \eta_i \eta_k \left[W_{\eta_i 0}^{\xi_i} \rho(\xi_i, \eta'_i) \Big|_{\eta_i=0} + W_{\eta_i 1}^{\xi_i} \rho(\xi_i, \eta'_i) \Big|_{\eta_i=1} + \right. \\ \left. + W_{\eta_k 0}^{\xi_k} \rho(\xi_k, \eta'_k) \Big|_{\eta_k=0} + W_{\eta_k 1}^{\xi_k} \rho(\xi_k, \eta'_k) \Big|_{\eta_k=1} - (W_{0 \eta_i}^{\xi_i} + W_{1 \eta_i}^{\xi_i}) \rho(\xi_i, \eta_i) - \right. \\ \left. - (W_{0 \eta_k}^{\xi_k} + W_{1 \eta_k}^{\xi_k}) \rho(\xi_k, \eta_k) \right].$$

Имеют место тождества

$$(19) \quad \sum_{\eta_i} \eta_i W_{\eta_i 0}^{\xi_i} \rho(\xi_i, \eta'_i) \Big|_{\eta_i=0} = \sum_{\eta_i} (1 - \eta_i) W_{1-\eta_i, \eta_i}^{\xi_i} \rho(\xi_i, \eta_i), \\ \sum_{\eta_i} \eta_i W_{\eta_i 1}^{\xi_i} \rho(\xi_i, \eta'_i) \Big|_{\eta_i=1} = \sum_{\eta_i} \eta_i W_{\eta_i \eta_i}^{\xi_i} \rho(\xi_i, \eta_i).$$

Подставляя (19) в (18), получаем

$$(20) \quad \frac{dc_{ik}^{vv}}{dt} \sum_g \delta_{\xi_i v} \delta_{\xi_k \gamma} \left\{ \left[[(1 - \eta_i) W_{1-\eta_i, \eta_i}^{\xi_i} - \eta_i W_{\eta_i \eta_i}^{\xi_i}] \eta_k \rho(\xi_i, \eta_i) + \right. \right. \\ \left. \left. + [(1 - \eta_k) W_{1-\eta_k, \eta_k}^{\xi_k} - \eta_k W_{\eta_k \eta_k}^{\xi_k}] \eta_i \rho(\xi_k, \eta_k) \right] \equiv \right. \\ \equiv \sum_{j \in i} \sum_{\xi_i, \eta_i, \xi_j, \eta_j} \delta_{\xi_i v} \delta_{\xi_j \gamma} \left[[(1 - \eta_i) W_{1-\eta_i, \eta_i}^{\xi_i} - \eta_i W_{\eta_i \eta_i}^{\xi_i}] \eta_k \rho^{(7)}(\xi_i, \eta_i; t) + \right. \\ \left. + [(1 - \eta_k) W_{1-\eta_k, \eta_k}^{\xi_k} - \eta_k W_{\eta_k \eta_k}^{\xi_k}] \eta_i \rho^{(7)}(\xi_k, \eta_k; t) \right],$$

где $\rho^{(7)}(\xi_i, \eta_i; t)$ — семичастичная функция распределения с центральным узлом i и шестью ближайшими к нему соседями $j \in i$.

Разделим систему кристалл — расплав на атомные слои, параллельные границе раздела фаз. Каждый слой будем характеризовать концентрациями c_z^v твердых атомов сорта v (z — номер слоя), концентрациями твердо-твердых связей c_z^{vv} ближайших соседей всех сортов в xy -плоскости, а в направлении роста соответственно c_{z-z-1}^{vv} . Полнотью жидкой фазе соответствует $z \rightarrow \infty$, полностью твердой $z \rightarrow -\infty$. Пусть xyz — целочисленные координаты, определяющие положение узла решетки в слое; $\eta_{xyz} = 1$, если в узле с координатами xy слоя z находится твердая частица, и $\eta_{xyz} = 0$, если — жидккая. С учетом условия отсутствия конфигураций нави-

саний межфазной границы частота присоединения частицы к кристаллу, если сорт частицы определен, есть

$$(21) \quad W_{10}^v = \frac{D_v}{a^2} \eta_{xy,z-1} (1 - \eta_{xyz}).$$

Введем двухчастичную аппроксимацию $\rho^{(7)}(\xi_{xyz}, \eta_{xyz}; t)$

$$(22) \quad \rho^{(7)}(\xi_i, \eta_i; t) = \rho^{(1)}(\xi_i, \eta_i; t) \prod_{j=1}^6 \frac{\rho^{(2)}(\xi_i, \eta_i; \xi_j, \eta_j; t)}{\rho^{(1)}(\xi_i, \eta_i; t)},$$

где j — координаты шести ближайших к узлу $i = (x y z)$ соседей. Подставляя (22) в (20) с учетом (12), (21) и производя суммирование по всем возможным конфигурациям системы, получаем

$$(23) \quad \frac{dc_{z,z-1}^{vv}}{dt} = c_{z,z-1}^{fv} W_{10}^v c_f^v - \frac{c_{z+1,z-1}^{fv} c_z^{vv}}{c_z^v} Q_v^4 W_{10}^v \exp\left(-\frac{\Phi_{vv} + 6\varepsilon_v}{kT} + \theta_v\right)$$

$$(v = \alpha, \beta),$$

где

$$Q_v = \frac{c_z^{vv}}{c_z^v} \exp\left(-\frac{\Phi_{vv}}{kT}\right) + \frac{c_z^{\alpha\beta}}{2c_z^v} \exp\left(-\frac{\Phi_{\alpha\beta}}{kT}\right) + \frac{c_z^{\gamma f}}{2c_z^v}$$

Кроме того, при усреднении введено условие перемешивания жидкой фазы

$$(1 - \eta_i) \delta_{\xi_i v} \rho(\xi_i, \eta_i) = (1 - \eta_i) c_f^v (\delta_{\xi_i \alpha} + \delta_{\xi_i \beta}) \rho(\xi_i, \eta_i),$$

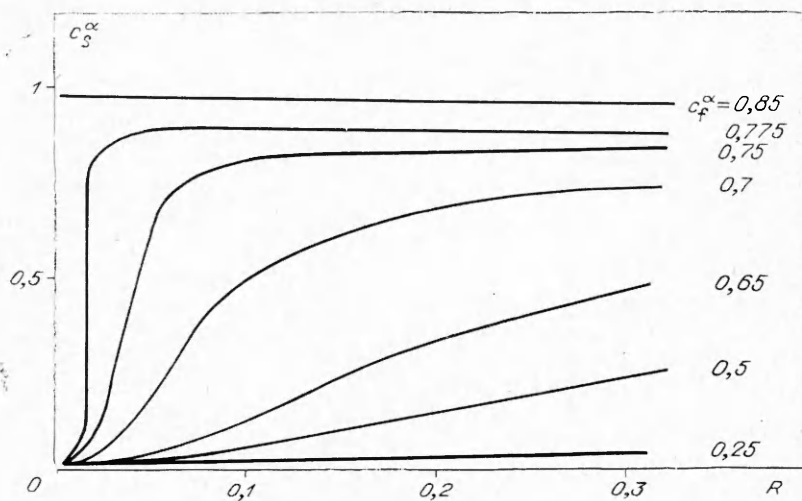
так что $c_{z,z-1}^{fv}, c_z^{vv}$ — концентрации связей твердых частиц сорта v с ближайшими жидкими соседями между z и $z-1$ -слоями и в xy -плоскости соответственно. Введение индекса f означает, что рассматривается концентрация связей частиц, принадлежащих разным фазам.

Аналогично (23) можно получить уравнения для двухчастичных функций распределения в xy -плоскости слоя z

$$(24) \quad \begin{aligned} \frac{dc_z^{vv}}{dt} &= \frac{c_z^{fv}}{(1 - c_z^\alpha - c_z^\beta)} (c_{z,z-1}^{f\alpha} + c_{z,z-1}^{f\beta}) W_{10}^v c_f^v - \frac{2c_{z+1,z}^{vv}}{(c_z^v)^2} Q_v^3 W_{10}^v \times \\ &\times \exp\left(-\frac{\Phi_{vv} + 6\varepsilon_v}{kT} + \theta_v\right) [c_{z,z-1}^{v\alpha} \exp\left(-\frac{\Phi_{v\alpha}}{kT}\right) + c_{z,z-1}^{v\beta} \exp\left(-\frac{\Phi_{v\beta}}{kT}\right)], \\ \frac{dc_z^{\alpha\beta}}{dt} &= \frac{(c_{z,z-1}^{f\alpha} + c_{z,z-1}^{f\beta})}{(1 - c_z^\alpha - c_z^\beta)} (c_z^{f\alpha} W_{10}^v c_f^\alpha + c_z^{f\beta} W_{10}^v c_f^\beta) - \frac{c_{z+1,z}^{\alpha\beta}}{(c_z^v)^2} \times \\ &\times Q_\alpha^3 W_{10}^\alpha \exp\left(-\frac{\Phi_{\alpha\beta} + 6\varepsilon_\alpha}{kT} + \theta_\alpha\right) [c_{z,z-1}^{\alpha\alpha} \exp\left(-\frac{\Phi_{\alpha\alpha}}{kT}\right) + c_{z,z-1}^{\alpha\beta} \exp\left(-\frac{\Phi_{\alpha\beta}}{kT}\right)] - \\ &- \frac{c_{z+1,z}^{\beta\alpha}}{(c_z^v)^2} Q_\beta^3 W_{10}^\beta \exp\left(-\frac{\Phi_{\alpha\beta} + 6\varepsilon_\beta}{kT} + \theta_\beta\right) [c_{z,z-1}^{\beta\beta} \exp\left(-\frac{\Phi_{\beta\beta}}{kT}\right) + \\ &+ c_{z,z-1}^{\beta\alpha} \exp\left(-\frac{\Phi_{\alpha\beta}}{kT}\right)]. \end{aligned}$$

Остальные двухчастичные функции находятся из условий баланса

$$(25) \quad c_z^v = c_{z+1,z}^{fv} + c_{z+1,z}^{vv} + c_{z+1,z}^{vv} = c_z^{vv} + \frac{1}{2} (c_z^{vv} + c_z^{v\beta}) \quad (\gamma \neq v).$$



Фиг. 2

Дополнив (23), (24), (25) уравнениями для концентраций твердых частиц на слое

$$\frac{dc_z^\gamma}{dt} = \sum_v \frac{dc_{z,z-1}^{\gamma\gamma}}{dt} (\gamma = \alpha, \beta),$$

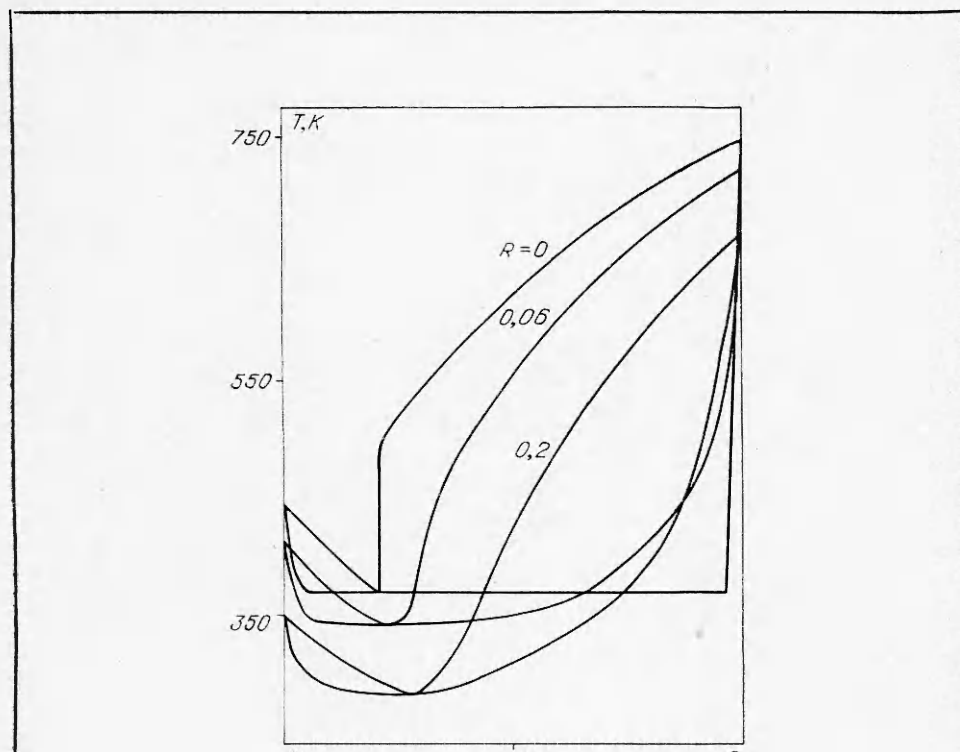
имеем замкнутую систему для нахождения $c_{z,z-1}^{\gamma\gamma}$, $c_z^{\gamma\gamma}$, c_z^γ . Скорость движения межфазной границы определим в виде

$$R = \sum_z \sum_v \frac{a^2}{D_\alpha} \frac{dc_z^\gamma}{dt}.$$

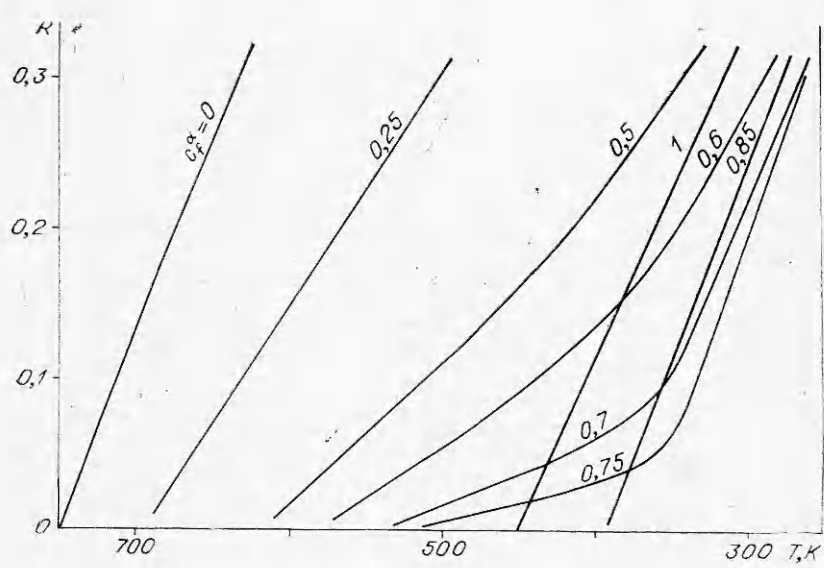
На фиг. 2 даны зависимости компонентного состава твердой фазы от безразмерной скорости $R = va/D$ для различных значений концентраций c_f^α расплава.

Результаты были получены для бинарной $\alpha - \beta$ -системы со следующими значениями параметров: $\varepsilon_\alpha = \varepsilon_\beta = 0$, $\Phi_{\alpha\alpha} = 300$ кал/моль, $\Phi_{\alpha\beta} = 200$ кал/моль, $\Phi_{\beta\beta} = 1500$ кал/моль, $\theta_\alpha = 1$, $\theta_\beta = 3$, $D_\alpha = D_\beta$.

Приведенные кривые обнаруживают аномальную зависимость от R в области значений $0 < c_f^\alpha < 0.8$, а именно: с уменьшением скорости роста концентрация α -компоненты в твердой фазе резко падает. Экстраполяция результатов к равновесию ($R = 0$) показывает, что составам жидкой фазы $0 < c_f^\alpha < 0.8$ соответствуют равновесные составы твердой фазы, близкие к чистой β -компоненте, а значениям $0.8 \leq c_f^\alpha < 1$ — близкие к чистой α -компоненте. С увеличением скорости роста скачок концентраций жидкой и твердой фаз уменьшается и кинетические диаграммы приобретают вид сигары с точкой минимума, в которой составы обеих фаз совпадают. Эта закономерность наглядно прослеживается также на фиг. 3, где даны кинетические фазовые диаграммы для значений $R = 0.06$; 0.2 и равновесная диаграмма, полученная экстраполяцией результатов к равновесию. Равновесная диаграмма имеет эвтектический вид. Точки эвтектики соответствуют $T = 375$ К, $c_f^\alpha = 0.8$. С увеличением скорости роста скачок концентраций жидкой и твердой фаз уменьшается, а кине-



Фиг. 3



Фиг. 4

тические диаграммы вырождаются в диаграммы типа сигары с точкой минимума.

На фиг. 4 приведены зависимости скоростей роста от температуры для различных составов жидкой фазы. Линейная зависимость скоростей кристаллизации от температуры для чистых α - и β -компонент свидетельствует о нормальном механизме роста изученных сплавов. В то же время нелинейная температурная зависимость скорости для $c_f^\alpha = 0,65 - 0,7$ означает специфику проявления нормального механизма для многокомпонентных систем.

Таким образом, в общем случае критерием того или иного механизма роста может служить, по-видимому, степень шероховатости растущих граней.

Расчет на ЭВМ проведен В. Ф. Киселевым.

Поступила 1 VIII 1977

ЛИТЕРАТУРА

- Cherpanova T. A., Shirin A. V., Borisov V. T. Computer simulation of crystal growth from solution.— In: Industrial crystallization. N. Y., 1977.
- Черепанова Т. А., Ширин А. В., Борисов В. Т. Моделирование роста бинарного кристалла на ЭВМ.— «Кристаллография», 1977, т. 22, № 2.
- Suzuki M., Kubo R. Dynamics of the Ising model near the critical point. I.— «J. Phys. Soc. Japan», 1968, vol. 24, N 1.

УДК 536.715

ИНТЕРПОЛЯЦИОННАЯ ТЕРМОДИНАМИЧЕСКАЯ МОДЕЛЬ ДЛЯ ВОДЫ В ОБЛАСТИ ОДНОРОДНЫХ И ДВУХФАЗНЫХ СОСТОЯНИЙ

C. B. Бобровский, B. M. Гоголев, M. Г. Менжулин,
P. B. Шилова
(Ленинград)

Для решения многих задач газовой динамики необходимо единое математическое описание термодинамических свойств воды в широкой области состояний, охватывающей как обычные, так и сверхвысокие давления и температуры. Существующие уравнения состояния (например, [1—4] и др.) справедливы в ограниченных диапазонах изменения термодинамических параметров. В работе [5] предложен способ построения интерполяционного уравнения состояния воды и водяного пара в широкой области однородных состояний, полученные термодинамические функции описываются с удовлетворительной точностью свойства среды в области давлений $p > 10^8$ Па (1 Па = 10^{-5} бар). В данной работе уточняются и развиваются результаты работы [5] с целью построения единого аналитического описания свойств воды в области однородных и двухфазных состояний.

Описание термодинамических свойств во всей области однородных состояний основывается на определении термодинамических функций среды для некоторых опорных состояний и достаточно гладкой интерпо-